

名古屋大学 正員 市原松平
港湾コンサルタント 正員 ○吉川 清

1. まえがき

近年、土中土圧計が随所に埋設されるようになってきたが、この土圧計の土中における作動についてはいまだ解明されていない点が多い。このことは、土圧計に作用する圧力が水のより流体圧ではなく、種々の物理的性質を有した土による圧力であることによっている。したがって、土圧計を埋設する前の段階における計器の検定でも、このことを考慮しなければならない。

この検定時の計器の作動ならびに検定土槽内における計器の据え付け位置について、昭和40年次学術講演会で発表したが、今回さらに明確な結論を得たのでここに報告する。

2. 実験概要

(1) 検定土槽ならびに使用土圧計

検定土槽については、前回に報告した内径×高さ = 75cm × 45cm の土槽を使用し

使用 計器	外径(D)×厚 さ(2B)	土圧板有 効径(d)	d/中央凹み量	最大計測 圧	指示方式
土圧計 A	170 mm × 30 (mm)	90 mm	10000	5 kg/cm ²	不平衡電流(mA)
" B	180 mm × 34 (mm)	160 mm	53000	5 kg/cm ²	電気抵抗比

表-1

た。土圧計については、表-1 に示す 2 種類を使用した。これら両計器の中でも主として土圧計 A を用いた。

(2) 試料土ならびに実験方法

試料土は、 $G_s = 2.64$, $\gamma = 39^\circ$, $D_{10} = 0.6 \text{ mm}$, $U = 2.0$ の空気乾燥砂とこの砂の最適含水比状態にある 9.0% 含水比の湿潤砂および、 $D_{10} = 1.3 \text{ mm}$, $U = 3.9$ の砂利を用いた。

実験に際しては、検定土槽内に合計 22 個所の測定点を設けた。すなわち水平方向には土槽側壁から $z = 10, 17, 27, 37.5 \text{ cm}$ の各点に中心がくるように、また鉛直方向には中詰め土表面から $z = 0, 12, 22, 32, 40 \text{ cm}$ の各点に計器の裏面が位置するよう据え付け、さらに土槽中心の個所だけ $z = 7, 17 \text{ cm}$ の 2 測定点を増した。これらの測定点は 1 個の土圧計で順次据ええて測定した。計器は水圧検定を行ったのちに、中詰め土の密度を一定に保つように心がけながら土槽の測定点に据え付けた。計器への加減圧は、中詰め土表面をゴム布でおおい、土槽の気密性を保ったのちに、空気圧をゴム布表面に加えることによって行った。この加減圧は 5 回連続して行ない、オ1, オ2, オ5 回目のそれぞれの加減圧過程において、 0.5 kg/cm^2 まで指示計のみをとった。

3. 実験結果ならびに考察

土圧計をまでおおう前のよみを零点として全計測値を整理した結果、次の現象が得られた。

土槽中央 ($x = 37.5 \text{ cm}$) で深さ $z = 12 \text{ cm}$ と 7 cm の 2 測定点および中詰め土表面 ($x = 0 \text{ cm}$) において計器では、検定曲線は加減圧両過程ともに直線であるが、それらの検定値は水圧検定値よりも大きかった。上記以外の測定点では、検定曲線は加圧時に直線で減圧時に上に凸のループを描いた。そしてこの現象は土槽の端部、底部に近づくほど顕著であった。これらの現象を各水平位置ごとに整理した例が図-1 である。

図-1 は、砂表面への加圧力を σ 、計器の示したよみを水圧検定値から換算した圧力を σ' として、

最大加圧力 $5kN/cm^2$ の圧力下における α と P_0 との比を横軸に、
計器の据え付け深さを縦軸にとったものである。図には頗る難
さを避けるために個々の値は示さず、計器、試料別における
平均曲線を示した。なお、土圧計Aによる乾燥砂と湿润砂は
ほぼ同一値を示したため、一本の曲線で表わした。

図中にはTrolllope & Leeが筆者らの土槽と同じ大きさで側
壁摩擦だけを求める模様の土槽を用いて行った実験結果を
もあわせて図示してある。図において筆者らの実験結果の比
較がうなぎにそれらとTrolllope & Leeの結果とを比較すると、ある
深さ以深においてはすべての曲線が平行線をたててしている。
このことは他の水平位置においても同様に観察された。

そこでこれらの現象に対して種々の考察を加えた結果、次の
結論が得られた。(1)本実験に使用した程度の計器では、
壁板上のアンテナ作用の影響は無視してよい。また
(2)土槽側壁は底部に近づくにつれて計測値が小さくなるのは、
土槽側壁の摩擦によるためである。したがって、
筆者らの曲線とTrolllope & Leeのそれとの差は、計器への応
力集中によるものである。(3)同一砂の乾燥砂と湿润砂に
ついては、最適含水比までの含水状態では両者の検定値
は同じである。

ここで、上記の応力集中度を深さ方向に対して図示した一例が 図-1である。この図は土圧計Aを
用いた場合の砂における結果である。図からわかるように、応力集中度はある深さよりでは漸増し、そ
れ次第では一定値を示している。ここに、ある深さとは図-2の場合 $Z=10cm$ であり、一定値は20
%程度である。同じ計器による砂利の場合も同様に $Z=10cm$ で応力集中度は一定値12%を示した。ま
た土圧計Bを用いた場合の砂、砂利におけるその深さは、両試料とも $Z=12cm$ で一定値はそれぞれ25
%, 15%であった。これらから、応力集中度の一定値は試料によって異なるが、一定値を保つまでの
土高さは、使用計器の直徑(D)と厚さ(2B)によって異なると考え、次式を表わした。

$$\text{一定値を保つまでの土高さ} = \frac{\text{応力集中度(一定値)}}{B} \times \frac{D}{2}$$

これによれば試料によって異なる係数であり、この値を使用す
れば、応力集中度が一定となる深さ、すなわち土中と同一状態におけ
る計器の据え付け位置が求められる。

次に土槽内の側壁摩擦による影響を調べた結果、側壁摩擦が検定曲
線のループを描かせることが明らかにされた。そこで、この結論をも
とに、側壁摩擦の影響範囲を求める圖を作成したのが 図-3である。

したがって、土圧計の検定には、図-3から側壁摩擦の影響しない
位置で、かつ土器の土高さと測定する深さに計器を据えなければ
いい。

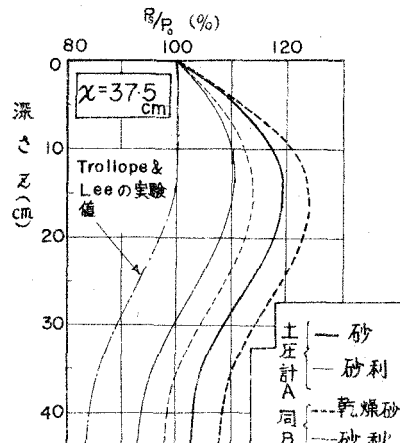


図-1

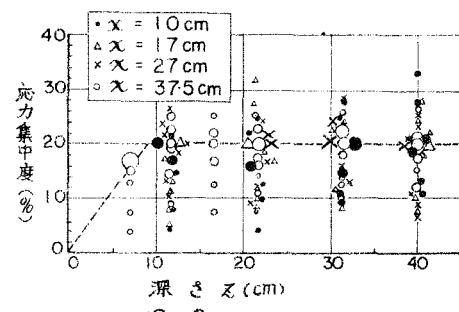


図-2

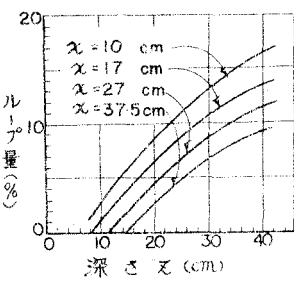


図-3